

# 青藏高原与周边地区近四十年区域夏季地表气温变化趋势 的异同及归因分析

吴玉婷<sup>1</sup> 杨崧<sup>1,2,3</sup> 胡晓明<sup>1,2,3</sup> 王子谦<sup>1,2,3</sup> 鲁萌萌<sup>2,4</sup> 肖子牛<sup>5</sup>

1 中山大学大气科学学院, 珠海 519082

2 南方海洋科学与工程广东省实验室(珠海), 珠海 519080

3 广东省气候变化与自然灾害研究重点实验室, 珠海 519080

4 中国气象科学研究院灾害天气国家重点实验室和气候与气候变化研究所, 北京  
100081

5 中国科学院大气物理研究所大气科学和地球流体力学数值模拟国家重点实验  
室, 北京 100029

**摘要** 欧亚大陆夏季地表气温在近四十年有显著的升温趋势, 本文基于 ERA5 再分析数据研究了 1979-2019 年间欧亚大陆不同区域的夏季地表气温的变化特征, 并利用气候反馈响应分析方法揭示了各区域变暖原因的异同。作为全球海拔最高的大地形, 青藏高原在过去四十年经历了显著的增温过程。青藏高原周边相对低海拔的地区(如北非南欧地区, 蒙古地区, 东北亚地区)同样表现出明显的变暖特征, 而高原南侧的南亚地区的地表气温却变化不明显。青藏高原夏季积雪融化引起的地表反照率减小使得更多短波辐射到达地表, 放大高原地表增暖。北非南欧地区增暖则主要源于大气气溶胶含量减少造成的入射短波辐射增加。同时, 大气温度升高导致的向下长波辐射增强对北非南欧地区以及蒙古地区的增暖都有显著贡献。此外, 东北亚地区云的减少是造成其地表增暖最主要的过程, 而南

---

收稿日期 2021-10-26; 网络预出版日期

**作者简介** 吴玉婷, 女, 1996 年出生, 博士研究生, 主要从事气候变化方面的研究。E-mail:  
wuyt9@mail2.sysu.edu.cn

**通讯作者** 杨崧, E-mail: yangsong3@mail.sysu.edu.cn

**资助项目** 国家自然科学基金委员会项目 42088101、41975080, 广东省基础与应用基础  
研究重大项目 2020B0301030004, 广州市珠江科技新星计划项目 201906010054

**Funded by** National Natural Science Foundation of China (Grant 42088101, 41975080),  
Guangdong Major Project of Basic and Applied Basic Research (Grant 2020B0301030004),

22 亚地区则是水汽增加和感热通量减少造成的增温与云和气溶胶增加造成的降温  
23 相抵消，因而温度变化幅度不大。

24 **关键词** 青藏高原 欧亚大陆 夏季地表增暖趋势 归因分析

25 **文章编号** 2021197C

26 **doi:** 10.3878/j.issn.1006-9895.2205.21197

27

28 **Difference/Similarity and Attribution of the Long-term Changes in Surface Air  
29 Temperatures over the Tibetan Plateau and Its Surrounding Regions**

31 WU Yuting<sup>1</sup>, YANG Song<sup>1,2,3</sup>, HU Xiaoming<sup>1,2,3</sup>, WANG Ziqian<sup>1,2,3</sup>, LU Mengmeng<sup>2,4</sup>,  
32 and XIAO Ziniu<sup>5</sup>

33 1 School of Atmospheric Sciences, Sun Yat-sen University, Zhuhai, China **519082**

34 2 Southern Marine Science and Engineering Guangdong Laboratory (Zhuhai), Zhuhai,  
35 China **519080**

36 3 Guangdong Province Key Laboratory for Climate Change and Natural Disaster  
37 Studies, Sun Yat-sen University, Zhuhai, China **519080**

38 4 State Key Laboratory of Severe Weather and Institute of Climate System, Chinese  
39 Academy of Meteorological Sciences, Beijing, China **100081**

40 5 State Key Laboratory of Numerical Modeling for Atmospheric Sciences and  
41 Geophysical Fluid Dynamics, Institute of Atmospheric Physics, CAS, Beijing, China  
42 **100029**

43  
44 **Abstract** The summer surface air temperatures over Eurasia exhibit significant  
45 warming trends in recent decades. Based on the ERA5 reanalysis data, this study  
46 investigates the characteristics of the changes in summer surface temperatures over  
47 different Eurasian regions during 1979-2019, reveals the similarities and differences  
48 among the various regions, and explains the contribution factors by adopting a climate  
49 feedback response analysis method. As the highest terrain in the world, the Tibetan

50 Plateau (TP) has experienced a remarkable warming trend in the past several decades.  
51 The lower-elevation regions surrounding the TP such as North Africa, southern  
52 Europe, Mongolia, and Northeast Asia also show obvious warming features, while  
53 surface temperature does not change significantly in South Asia to the south of the TP.  
54 The decreased summer surface albedo due to melting snow allows more incoming  
55 shortwave radiation to reach the surface, amplifying the surface warming over the TP.  
56 The warming over North Africa and southern Europe is mainly attributed to the  
57 increase in shortwave radiation due to reduced aerosols. Meanwhile, the increase in  
58 downward longwave radiation caused by increased atmospheric temperature presents  
59 a significant contribution to the warming over North Africa, southern Europe, and  
60 Mongolia. Moreover, the reduction in clouds is the main factor contributing to the  
61 surface warming over Northeast Asia. In South Asia, the warming induced by  
62 increased atmospheric water vapor and decreased surface sensible flux is offset by the  
63 cooling due to increases in clouds and aerosols, leading to small long-term change in  
64 the regional summer surface temperature.

65 **Keywords** Tibetan Plateau, Eurasia continent, summer surface warming trend,  
66 attribution analysis

67

68

69

70 **1 引言**

71 地表气温是影响区域气候、农业生产的重要因素，也是影响大气和地表能量  
72 交换和水循环的重要参数。在全球变暖背景下，全球地表气温呈现上升趋势，表  
73 现出北半球高纬度地区升温更显著，陆地增暖比海洋增暖更强等特点。而夏季地  
74 表气温增暖明显地影响着区域和全球气候，对区域极端热浪事件的发生具有加剧  
75 作用（Schär et al., 2004），对生态系统及人类社会造成严重影响（Wahren et al.,  
76 2005），更值得关注和研究。

77 青藏高原是世界上海拔最高的高原，它在夏季作为热源，对其周边地区乃至  
78 全球的天气气候变化产生重要影响（简茂球等, 2004; Wu et al., 2007, 2015; 彭玉  
79 萍等 2012; Lu et al., 2018, 2019, 2021; Nan et al. 2019, 2021; Liu et al., 2020）。青藏  
80 高原的地表气温在过去几十年经历了显著增温（段安民等, 2016; 杨倩等, 2020;  
81 Yan et al., 2020），且其升温幅度高于同纬度地区平均，同时也高于中国及全球平  
82 均增暖水平，具有增暖放大现象（马晓波等, 2003; Duan and Xiao, 2015; 游庆龙  
83 等, 2021）。青藏高原增暖的原因也引起了广泛的研究和讨论。地表冰雪变化被认  
84 为是高原地表增暖的一个主要原因，增暖的地表使得雪线升高，地表反照率减小，  
85 进一步接收更多的短波辐射，放大地表增暖(Ghatak et al., 2014; You et al., 2016)。  
86 同时，云-辐射反馈过程也会导致高原增暖，高原夜间低云量的增长以及白天云  
87 量减少造成的夜间大气逆辐射和白天太阳辐射增强的共同作用使得高原气温升  
88 高（Duan et al., 2006; Duan and Xiao, 2015; Yang and Ren, 2017）。大气水汽含量增  
89 多以及大气温度升高使向下长波辐射增强，也利于地表增暖（Rangwala et al.,  
90 2009; Su et al., 2017; Gao et al., 2019）。此外，温室气体排放、气溶胶变化以及陆  
91 面使用的变化等原因都会导致高原增暖（Chen et al., 2003; Cui et al., 2006; Jin et  
92 al., 2010; Jiang et al., 2017; Ma et al., 2017, 2019）。

93 在欧亚大陆青藏高原周边的相对低海拔地区，夏季地表气温也呈现出显著的  
94 升高趋势，并得到了较多学者的关注。前人研究表明，欧洲夏季极端热浪发生频  
95 次逐年增加（Barriopedro et al., 2011; Hoerling et al., 2012; Stainforth et al., 2013），  
96 青藏高原以北的东北亚地区也出现极端热浪事件增加特征(Trenberth and Fasullo,  
97 2012; Lee et al., 2018; Fang and Lu, 2020)。大西洋多年代际振荡（AMO）被认为

98 对欧亚地区地表年代际增暖有重要贡献 (Sutton and Dong, 2012; Kamae et al.,  
99 2014), AMO 一方面会调制中部型厄尔尼诺所激发的环流响应, 导致了与欧亚大  
100 陆年代际热浪频率相关的大规模环流异常 (Zhou and Wu, 2016); 另一方面也会  
101 调制丝绸之路遥相关型的年代际变化, 从而造成了欧亚大陆纬向地表增暖的不均  
102 匀性 (Hong et al., 2017)。此外, 温室气体和气溶胶变化也会造成显著的地表增  
103 暖 (Stott et al., 2000; Kamae et al., 2014), 尤其是在欧洲以及东北亚地区 (Dong  
104 et al., 2016, 2017)。气候变化对欧亚大陆的增暖也具有显著的影响, 例如, 有研  
105 究指出夏季东北亚地表增暖是对华南夏季降水增加的远程响应 (Chen and Lu,  
106 2014)。

107 以往研究主要集中在造成欧亚大陆夏季增暖的外部强迫和内部变率的研究  
108 上, 而对地表增暖现象形成的具体热动力过程及其各因子的定量贡献还有待深入  
109 研究。同时, 欧亚大陆高海拔的大地形区域 (青藏高原) 与其周边相对低海拔地  
110 区的增暖归因有何异同? 这也是一个值得研究的科学问题。因此, 本文将关注青  
111 藏高原及其周边相对低海拔地区在过去四十年的夏季地表气温变化趋势, 分析造  
112 成其温度变化趋势的主要热动力过程及其相对贡献, 加深青藏高原及其周边欧亚  
113 大陆夏季地表气温变化趋势及归因的整体认识。

114

## 115 2 资料和方法

### 116 2.1 数据资料

117 本文主要采用 1979-2019 年欧洲中期天气预报中心 (European Centre for  
118 Medium-range Weather Forecasts, ECMWF) 提供的 ERA5 的逐月再分析资料  
119 (Hersbach et al., 2020)。资料的水平网格分辨率为  $1^\circ \times 1^\circ$ , 垂直方向有 37 层  
120 (1000~1 hPa) 标准等压层。参与计算的变量包括等压面高度场, 水平风场, 温  
121 度, 比湿, 云冰/云水含量, 云量, 臭氧混合比, 2 米露点温度, 地表气压, 多云  
122 及晴天情况下的地表向下及净短波辐射通量, 多云及晴天情况下的地表向下及净  
123 长波辐射通量, 大气层顶入射太阳辐射, 表面感热通量和表面潜热通量。其中,  
124 本文使用的月平均气溶胶光学厚度数据来自于 MEERA-2 (Modem-Era  
125 Retrospective Analysis for Research and Applications) 再分析资料。此外, 二氧  
126 碳 ( $\text{CO}_2$ ) 浓度数据来自美国国家海洋与大气管理局地球系统研究实验室网站

127 (<https://www.esrl.noaa.gov/gmd/ccgg/trends/>)。

## 128 2.2 分析方法

129 依据斯蒂芬-玻尔兹曼定律，表面温度决定了地表向上长波辐射，因而我们将  
130 用地表长波辐射的变化来表征地表气温的变化。而根据地表能量守恒方程  
131 (Huang et al. 2017)，地表向上长波辐射可以进一步被分解为：

132  $R \uparrow = S \downarrow - S \uparrow + R \downarrow - LH \uparrow - SH \uparrow - G0 \uparrow, \quad (1)$

133 其中  $S \downarrow$  ( $S \uparrow$ ) 为地表向下 (向上) 太阳短波辐射通量， $R \downarrow$  ( $R \uparrow$ ) 为地表向下 (向  
134 上) 长波辐射通量， $LH \uparrow$  和  $SH \uparrow$  分别为从地表到大气的潜热通量和感热通量，  
135  $G0 \uparrow$  为次地表层的能量通量，也称为地表热通量 (Ground Heat Flux)。 $G0 \uparrow$  在陆  
136 地上一般很小，可以忽略不计，而等式中其它每项都可以直接由 ERA5 资料直接  
137 得到。

138 我们定义 1979-1988 年的十年平均为基准状态，并且使用 1980-2019 年数据  
139 进一步构建了 31 个连续变化的十年平均，称为暖状态，分别为 1980-1989 年十  
140 年平均，1981-1990 年十年平均等，一直到 2010-2019 年十年平均。用 “ $\Delta$ ” 表  
141 示任一暖状态相对基准状态的异常，那么这 31 个连续变化的年代际差异可以认  
142 为是 1979-2019 年的趋势变化。进而公式 1 可以写作：

143  $\Delta R \uparrow = \Delta S \downarrow - \Delta S \uparrow + \Delta R \downarrow - \Delta LH \uparrow - \Delta SH \uparrow, \quad (2)$

144 通过上式，我们可以得到等式右边各项的年代际变化从而评估  $\Delta R \uparrow$  的年代际  
145 变化。而

146  $\Delta S \downarrow - \Delta S \uparrow + \Delta R \downarrow \approx \Delta Q_{albedo} + \Delta Q_{cloud} + \Delta Q_{wv} + \Delta Q_{Ta} + \Delta Q_{CO_2} + \Delta Q_{solar} +$   
147  $\Delta Q_{O_3} + \Delta Q_{Aero}, \quad (3)$

148 其中  $\Delta Q$  表示由不同下标代表的过程引起的地表辐射通量扰动，这些过程分别为  
149 地表反照率，云，水汽，大气温度，CO<sub>2</sub> 浓度，大气层顶入射太阳辐射，臭氧浓  
150 度和气溶胶变化。 $\Delta Q_{cloud}$  可以通过计算 ERA5 数据在有云、无云两种情况下的  
151 地表辐射通量之差得出，进一步用  $\Delta CRE$  表示，代表着与云相关的过程所引起的  
152 辐射效应，主要包含了云变化引起的直接辐射效应以及其他项如水汽等与云相互  
153 作用引起的间接辐射效应。除  $\Delta CRE$  外，等式 (3) 中右边各项都由同一辐射传输

154 模式 (Fu and Liou, 1992, 1993) 的两次计算差值给出, 第一次计算采用基准状态  
155 的相关变量场, 第二次计算采用与第一次计算相同的变量场, 只将下标代表的变  
156 量场替换为暖状态中的变量场。需要特别说明的是, 在两次计算过程中, 云相关  
157 变量均为 0, 即为各项的晴空辐射效应。

158 总而言之, 地表能量分解方法可表述为:

$$\Delta R \uparrow \approx \Delta Q_{albedo-clr} + \Delta CRE + \Delta Q_{wv-clr} + \Delta Q_{Ta-clr} + \Delta Q_{CO_2-clr} + \Delta Q_{solar-clr} + \\ 159 \Delta Q_{O_3-clr} + \Delta Q_{Aero} - \Delta LH \uparrow - \Delta SH \uparrow \\ 160 , \quad (4)$$

161 其中,  $clr$  表示晴空条件下, 即我们计算的是各项均为晴空辐射效应。通过公式  
162 (4), 我们可以将地表向上长波辐射的变化分解为由外强迫变化 ( $CO_2$  和太阳入  
163 射辐射) 以及气候系统内部过程 (包含臭氧, 地表反照率, 大气温度, 水汽, 云,  
164 感热和潜热通量) 导致的能量扰动。从而达到定量计算各过程对高原及其周边  
165 地区的地表气温变化的贡献的目的。上述方法是我们为了更加清晰直观地研究青  
166 藏高原及周边地区的地表气温趋势, 在 Lu and Cai (2009) 以及 Cai and Lu (2009)  
167 提出的气候反馈响应分析方法上进一步整理得到的, 它是气候反馈响应分析方法  
168 的另一种表达形式。

169

### 170 3 结果分析

#### 171 3.1 青藏高原及周边地区地表气温趋势

172 图 1 展示了欧亚非地区 1979-2019 年夏季地表气温趋势分布图, 可以看出,  
173 近 41 年的夏季欧亚大陆平均气温呈显著上升趋势。其中, 有两个明显的增暖中  
174 心, 分别位于高原以西的北非南欧地区, 以及高原以北的蒙古地区, 两地增暖最  
175 显著区域均超过  $0.6 K \cdot (10a)^{-1}$ 。此外, 高原主体增暖区域主要位于东部及北部  
176 高原。同时, 在高原东侧东北亚区域也有较为显著的增暖趋势, 其区域平均增暖  
177 幅度超过  $0.2 K \cdot (10a)^{-1}$ , 而在高原南侧南亚次大陆上, 并没有出现显著的增暖  
178 趋势。在全球变暖背景下, 欧亚大陆地表气温趋势在过去四十年存在明显区域性  
179 差异, 青藏高原与低海拔区域增暖幅度有所不同, 低海拔区域之间增暖幅度也有  
180 明显差异。因此我们选取了高原以西的北非南欧地区、以北的蒙古地区这两个显  
181 著增暖中心, 以及高原以东的东北亚地区、以南的南亚地区这两个显著低海拔地  
182 区作为研究区域, 关注它们各自在过去四十年的地表气温变化以及与青藏高原增

183 暖的异同以及联系。

184 图 2 展示了我们关注的五个地区的区域平均地表气温（红色实线）、地表向上  
185 长波辐射通量（黑色实线）及其十年滑动平均（紫色虚线）在近四十年的演变情  
186 况。高原主体增暖幅度为  $0.30 \text{ K} \cdot (10\text{a})^{-1}$ ，而高原以西的北非南欧区域平均地  
187 表气温表现出最为显著的增暖趋势，其区域平均增暖幅度达到  $0.56 \text{ K} \cdot (10\text{a})^{-1}$ ，  
188 其次为青藏高原以北的蒙古地区，其增暖幅度为  $0.46 \text{ K} \cdot (10\text{a})^{-1}$ ，与此同时，  
189 高原东侧东北亚地区增暖幅度为  $0.35 \text{ K} \cdot (10\text{a})^{-1}$ ，而青藏高原南侧印度次大陆  
190 在过去四十年并未发生显著温度变化 ( $0.14 \text{ K} \cdot (10\text{a})^{-1}$ )。

191 地表向上长波辐射与地表气温的变化在五个区域都有很强的一致性，因而用  
192 地表向上长波辐射的变化来表征地表气温的演变是可靠的。对地表气温长期趋势  
193 变化的研究转变为对地表向上长波辐射的趋势研究。依据 2.2 节中所描述的方法，  
194 我们将地表向上长波辐射的变化分解为多个不同过程变化导致的地表向上长波  
195 辐射扰动之和。图 3 是 31 个连续变化的十年平均相对 1979-1988 十年平均每个  
196 区域的向上长波辐射变化的具体贡献过程。我们将在接下来的三个小节中讨论不  
197 同过程对各个区域地表向上长波辐射趋势变化的贡献，其中青藏高原作为大地形  
198 区域单独讨论，而北非南欧地区和蒙古地区作为中纬度内陆地区，与两个沿海地  
199 区域（东北亚地区和南亚地区）进行分组讨论。

### 200 3.2 青藏高原主体趋势归因分析

201 图 3a 表明，青藏高原的地表向上长波辐射在过去四十年有较为明显的上升趋  
202 势，与地表气温趋势一致。造成高原地表向上长波辐射增加（也就是地表气温增  
203 加）的主要过程有地表反照率过程，以及大气气溶胶和水汽过程。高原夏季地表  
204 反照率在过去四十年逐渐减小（图 4），这与高原多年积雪融化，雪线升高有关  
205 （Shen et al., 2014; Xu et al., 2017），同时高原夏季地表植被增加对地表反照率减  
206 小也有贡献（王青霞等人，2014; Zhong et al. 2019）。减小的地表反照率使得高  
207 原地表接收到更多的入射太阳短波辐射，地表能量增加，进一步放大了高原地表  
208 增暖。而高原大气气溶胶的减少（Kang et al., 2016; Zhu et al., 2019）进而减弱了  
209 对太阳辐射的吸收和散射，地表获得更多的能量。此外，高原在过去四十年有较  
210 为显著的水汽辐合趋势（图 5b），大气水汽含量增加，增加向下长波辐射，地表  
211 进一步获得能量，利于地表增暖。同样，增加的大气水汽利于云的形成（图 5a），

212 高原上云量的增加会阻挡入射短波辐射，不利于地表增温。此外，地表潜热通量  
213 增加（图 6b），向大气释放了更多的能量，对地表有降温作用。

214 Wu et al. (2020) 在研究青藏高原地表年代际增温中指出地表感热通量的年代  
215 际减弱、地表反照率减小和大气水汽含量增加对夏季高原年代际增温有重要贡  
216 献。从本文揭示的高原地表增温趋势中，我们也看到地表反照率和大气水汽含量  
217 对高原增暖趋势的重要作用，而地表感热通量的作用不明显。事实上，地表感热  
218 通量在 1998 年前为下降趋势，在 1998 年后为上升趋势 (Zhu et al. 2017)，因而  
219 在本研究关注的时段（1979-2019 年）中的趋势变化并不显著，故对高原地表增  
220 暖的趋势贡献并不明显。

### 221 3.3 青藏高原以西、以北地区趋势归因分析

222 针对高原以西的北非南欧地区（图 3b），其地表向上长波辐射在过去四十年  
223 有明显的上升趋势。通过对地表向上长波的分解，我们发现造成北非南欧地区地  
224 表向上长波辐射增加的主要过程来自于大气气溶胶变化以及大气温度变化，而造  
225 成地表向上长波辐射减少（也就是地表气温减小）的主要过程是地表感热过程，  
226 正贡献过程造成的升温幅度远强于负贡献过程造成的降温幅度，因此北非南欧地  
227 区地表气温在近四十年表现为显著的升高趋势。

228 在北非南欧地区，大气温度有显著的增暖趋势（图 7a），这与大气异常反气  
229 旋环流所对应（图 7b）。增暖的大气会增强向下长波辐射，使得地表能量增加，  
230 利于地表增暖。此外，北非南欧地区大气中存在大量以沙尘为主的气溶胶 (Gu et  
231 al., 2012; Varga 2020; Wang et al., 2020)，大气气溶胶会反射和散射太阳短波辐射，  
232 造成地表降温 (Kaiser and Qian, 2002; Zheng et al., 2008)。从近四十年大气气溶  
233 胶光学厚度的趋势上来看，北非南欧地区的气溶胶明显减少（图 8），那么气溶  
234 胶对入射短波的散射和吸收也减弱，更多入射短波辐射到达地表，利于地表增温。  
235 同时，北非南欧地区的大气水汽含量和云量在近四十年来存在一定的下降趋势  
236 （图 5），但其区域平均的变化幅度不大，对地表能量收支影响较小，因而对温  
237 度趋势变化贡献也较小。增暖的地表主要以感热的方式向大气输送能量（图 6a），  
238 使得地表失去能量，造成地表降温。总的来说，由于气溶胶减少造成的地表入射  
239 短波增加和大气增暖造成的地表入射长波增加，使得北非南欧地区地表在过去四  
240 十年呈现出显著的增暖趋势。

241 在高原以北的蒙古地区（图 3c），地表向上长波辐射也有明显的升高趋势，  
242 表征着其地表气温的显著增温。大气温度，气溶胶以及云量的变化是其地表向上  
243 长波辐射增加的主要原因。而增暖的地表主要通过感热和潜热过程向大气输送能  
244 量，它们对地表增暖是负贡献。从图 7a 可以看出，大气温度增暖的另一中心位  
245 于高原以北的区域，增暖大气增强向下大气长波辐射从而导致地表增温。此外，  
246 气溶胶光学厚度在高原以北部分区域有增加趋势，部分区域有减少趋势（图 8），  
247 而它们对辐射影响的共同表现为使地表增暖。

### 248 3.4 青藏高原以东、以南地区趋势归因分析

249 高原以东的东北亚地区在过去四十年也有较为明显的升温趋势（图 3d）。造  
250 成其地表向上长波辐射增加的主要过程是云的变化，大气温度的变化也有一定的  
251 贡献，同时地表潜热通量变化产生的贡献在 21 世纪变得明显。而地表感热通量  
252 以及大气气溶胶的变化使得地表辐射减少从而降温。东北亚地区云量在过去四十  
253 年有明显的减少趋势（图 5a），利于辐射到达地表从而造成增温。大气温度在东  
254 北亚也表现出稳定的增加趋势（图 7a），对应着地表增暖。人口稠密的东北亚地  
255 区在过去四十年里大气气溶胶显著增加（图 8），不利于地表增温。

256 在高原以南的印度次大陆地区，地表向上长波辐射在近四十年的稳定状态是  
257 由云和气溶胶变化引起的辐射减少与水汽和地表感热通量变化引起的辐射增加  
258 所平衡的。印度次大陆水汽充沛，在近四十年有明显的水汽增加（图 5b），增加  
259 向下长波辐射，而其云量也有所增加（图 5a），减少了地表入射短波辐射。而气  
260 溶胶的变化（图 8）使得地表接收到较少的辐射而感热的变化（图 6a）保留了更  
261 多的能量在地表。整体而言，印度次大陆由于各个过程的平衡，并没有表现出明  
262 显的地表气温变化。

### 263 3.5 讨论

264 我们已经在上文阐述了青藏高原及其周边地区在过去四十年的温度变化以及  
265 造成温度变化的主要过程，而造成几个地区温度趋势变化的过程也存在异同。图  
266 9 总结了各个过程对不同区域的地表气温变化趋势的贡献，其中红色表示该过程  
267 使得该地区温度有升高趋势，蓝色则表示该过程使得该地区温度有降低趋势。需  
268 要指出的是，在我们关注的时间段内，全球  $\text{CO}_2$  浓度有所上升，对地表气温升  
269 高有贡献。然而，对于我们关注的几个地区来说， $\text{CO}_2$  浓度上升直接导致的地表

270 气温变化远弱于云、水汽、地表反照率等局地过程带来的地表气温变化。同样地，  
271 大气层顶入射太阳辐射带来的地表气温改变也几乎可以忽略不计，因此图 9 中没  
272 有统计 CO<sub>2</sub> 项和 Solar 项。

273 高原以西的北非南欧地区与高原以北的蒙古地区都位于中纬度内陆地区，在  
274 在过去四十年造成两个地区的地表增暖的过程具有相似性。首先，两地上空大气温  
275 度有非常显著的增暖趋势，都对地表增暖有明显的正贡献。其次，两地的气溶胶  
276 变化都利于其地表气温的增加。并且尽管两地云量上显示出较为明显的减弱趋势  
277 (图 5a)，但实际的变化量级较小，对辐射的影响有限。

278 此外，造成东北亚地区与南亚地区在近四十年的温度趋势变化的过程也存在  
279 类似性。两个地区都靠近海洋，其水汽充沛，云量丰富，水汽和云量的变化在这  
280 两个地区对其温度趋势变化的贡献突出。并且两地都是人口稠密地区，人类活动  
281 导致的大气气溶胶在过去四十年有显著的增加趋势，对地表造成了降温的作用。

282 青藏高原作为高海拔的大地形，是在我们关注的区域中唯一存在夏季积雪的  
283 区域，且地表冰雪过程变化以及高原植被增加引起的地表反照率变化是高原过去  
284 四十年的增暖趋势的最大贡献过程。高原在过去四十年大气水汽含量和云量都有  
285 增加，分别对地表增温有正贡献和负贡献，与南亚地区一致，这可能与夏季两地  
286 处于季风环流系统控制下，水汽和云量变化具有较好的一致性有关。

287

## 288 4 结论

289 本文利用地表向上长波辐射变化与地表气温变化之间的准线性关系，借助地  
290 表能量收支方程以及辐射能量传输模式，通过研究近四十年地表向上长波辐射变  
291 化的原因，将青藏高原及其周边地区在过去四十年的夏季地表气温变化进行归因  
292 分析，找出对青藏高原及其周边地区不同子区域地表气温趋势变化的主要贡献过  
293 程及它们的异同。青藏高原作为独特的大地形，与地表冰雪融化以及地表植被增  
294 加相联系的地表反照率降低是其地表增暖的主要过程，同时大气增湿对地表增温  
295 也有贡献。在高原以西的北非南欧以及高原以北的蒙古地区，主要以干旱和半干  
296 旱气候为主，造成增暖的过程一方面来自大气气溶胶的减少导致的入射太阳辐射  
297 增加，一方面来自大气增暖引起的向下长波辐射增加。此外，尽管云量的变化有  
298 显著趋势，但变化量小，其辐射效应不明显。而在高原以东的东北亚地区和高原

299 以南的南亚地区，人口密度大，因而大气气溶胶在过去四十年均有显著增加，对  
300 地表有冷却作用。且临近海洋其水汽和云量的变化对辐射的影响较大。但东北亚  
301 地区云量显著减少，对地表增温作用显著，而在南亚地区，水汽增加和地表感热  
302 通量减少造成的地表增暖被云量以及大气气溶胶增加引起的地表辐射减少所平  
303 衡，因此南亚地区在过去四十年地表气温没有明显的趋势。

304 需要指明的是，本研究也存在一些不足。首先，我们主要使用的是 ERA5 再  
305 分析数据集，并没有和其它的数据进行横向对比研究，使用不同数据集可能对结  
306 果有细微的影响。其次，在计算气溶胶的辐射效应时，我们采用的是余项法，即  
307 计算出除气溶胶外其它各项的造成的地表向上长波变化后，用晴空条件下总向上  
308 长波辐射的变化减去各项变化之和，得到气溶胶造成的地表向上长波变化。这样  
309 计算得到的气溶胶引起的辐射效应主要是气溶胶变化的直接辐射效应，气溶胶与  
310 云相互作用导致的间接辐射效应在云变化项中。此外，在利用 Fu-Liou 辐射传输  
311 模式进行线性化过程中会产生误差，这部分误差会被包含在气溶胶项中。前期研  
312 究表明，线性化误差值相对总长波变化值为小值。同时，气溶胶光学厚度变化与  
313 气溶胶项的高相关性表明线性化误差对气溶胶项的影响很小。最后，本研究中并  
314 没有考虑青藏高原地表增暖对周边其他地区气候变化的影响，只探讨了造成各个  
315 地区地表增暖过程的异同。前人有研究指出高原地表加热会造成上游北非南欧地区  
316 对流层均匀增暖的结果（Lu et al., 2018）。

317 在未来的研究中，我们将对气候模式在高原及周边地区的地表气温变化的模  
318 拟情况以及归因情况进行分析，评估模式对地表气温变化主要贡献过程的模拟性  
319 能。同时，我们将进一步分析高原及周边地区在全球变暖背景下增暖预估的不确  
320 定性，及造成这种增暖预估模式间差异的主要来源。

321  
322

323

324

## 参考文献 (References)

- 325 Barriopedro D, Fischer E M, Luterbacher J, et al. 2011. The hot summer of 2010:  
326 redrawing the temperature record map of Europe [J]. *Science*, 332(6026):  
327 220–224. doi:10.1126/science.1201224
- 328 Cai M, Lu J. 2009. A new framework for isolating individual feedback processes in  
329 coupled general circulation climate models. Part II: Method demonstrations and  
330 comparisons [J]. *Climate. Dyn.*, 32(6): 887–900. doi:  
331 10.1007/s00382-008-0424-4
- 332 Chen B, Chao W C, Liu X. 2003. Enhanced climatic warming in the Tibetan Plateau  
333 due to doubling CO<sub>2</sub>: a model study [J]. *Climate. Dyn.*, 20(4): 401–413.  
334 doi:10.1007/s00382-002-0282-4
- 335 Chen W, Lu R. 2014. A decadal shift of summer surface air temperature over  
336 Northeast Asia around the mid-1990s [J]. *Adv. Atmos. Sci.*, 31(4): 735–742.  
337 doi:10.1007/s00376-013-3154-4
- 338 Cui X, Graf H, Langmann B, et al. 2006. Climate impacts of anthropogenic land use  
339 changes on the Tibetan Plateau [J]. *Glob. Planet. Change*, 54(1–2): 33–56.  
340 doi:10.1016/j.gloplacha.2005.07.006
- 341 Dong B, Sutton R T, Chen W, et al. 2016. Abrupt summer warming and changes in  
342 temperature extremes over Northeast Asia since the mid-1990s: Drivers and  
343 physical processes [J]. *Adv. Atmos. Sci.*, 33(9): 1005–1023.  
344 doi:10.1007/s00376-016-5247-3
- 345 Dong B, Sutton R T, Shaffrey L. 2017. Understanding the rapid summer warming and  
346 changes in temperature extremes since the mid-1990s over Western Europe [J].  
347 *Climate Dyn.*, 48(5–6): 1537–1554. doi:10.1007/s00382-016-3158-8
- 348 段安民, 肖志祥, 吴国雄. 2016. 1979—2014年全球变暖背景下青藏高原气候变化  
349 特征 [J]. *气候变化研究进展*, 12(5): 374–381. Duan Anmin, Xiao Zhixiang,  
350 Wu Guoxiong. 2016. Characteristics of climate change over the Tibetan Plateau  
351 under the global warming during 1979-2014 [J]. *Climate Change Research (in  
352 Chinese)*, 12(5): 374–381. doi:10.12006/J.ISSN.1673-1719.2016.039

- 353 Duan A, Wu G. 2006. Change of cloud amount and the climate warming on the  
354 Tibetan Plateau [J]. Geophys. Res. Lett., 33(22): L22704.  
355 doi:10.1029/2006GL027946
- 356 Duan A, Xiao Z. 2015. Does the climate warming hiatus exist over the Tibetan  
357 Plateau? [J]. Sci. Rep., 5(1): 13711. doi:10.1038/srep13711
- 358 Fang B, Lu M. 2020. Heatwave and blocking in the Northeastern Asia: occurrence,  
359 variability, and association [J]. J. Geophys. Res. Atmos., 125(6):  
360 e2019JD031627. <https://doi.org/10.1029/2019JD031627>
- 361 Fu Q, Liou K N. 1992. On the correlated  $k$ -Distribution method for radiative transfer  
362 in nonhomogeneous atmospheres [J]. J. Atmos. Sci., 49(22): 2139–2156.  
363 doi:10.1175/1520-0469(1992)049<2139:OTCDMF>2.0.CO;2
- 364 Fu Q, Liou K N. 1993. Parameterization of the radiative properties of cirrus clouds [J].  
365 J. Atmos. Sci., 50(13): 2008–2025.  
366 doi:10.1175/1520-0469(1993)050<2008:POTRPO>2.0.CO;2
- 367 Gao K, Duan A, Chen D, et al. 2019. Surface energy budget diagnosis reveals  
368 possible mechanism for the different warming rate among Earth's three poles in  
369 recent decades [J]. Sci. Bull., 64(16): 1140–1143. doi:10.1016/j.scib.2019.06.023
- 370 Ghatak D, Sinsky E, Miller J. 2014. Role of snow-albedo feedback in higher elevation  
371 warming over the Himalayas, Tibetan Plateau and Central Asia [J]. Environ. Res.  
372 Lett., 9(11): 114008. doi:10.1088/1748-9326/9/11/114008
- 373 Gu Y, Liou K N, Jiang J H, et al. 2012. Dust aerosol impact on North Africa climate:  
374 a GCM investigation of aerosol-cloud-radiation interactions using A-Train  
375 satellite data [J]. Atmos. Chem. Phys., 12(4): 1667–1679.  
376 doi:10.5194/acp-12-1667-2012
- 377 Hersbach H, Bell B, Berrisford P, et al. 2020. The ERA5 global reanalysis [J]. Quart.  
378 J. Roy. Meteor. Soc., 146(730): 1999–2049. doi:10.1002/qj.3803
- 379 Hoerling M, Eischeid J, Perlitz J, et al. 2012. On the increased frequency of  
380 Mediterranean drought [J]. J. Climate, 25(6): 2146–2161.  
381 doi:10.1175/JCLI-D-11-00296.1
- 382 Hong X, Lu R, Li S. 2017. Amplified summer warming in Europe–West Asia and

- 383 Northeast Asia after the mid-1990s [J]. Environ. Res. Lett., 12(9): 094007.  
384 doi:10.1088/1748-9326/aa7909
- 385 Huang J, Li Y, Fu C, et al. 2017. Dryland climate change: Recent progress and  
386 challenges [J]. Rev. Geophys., 55(3): 719-778. doi: 10.1002/2016RG000550
- 387 简茂球, 罗会邦, 乔云亭. 2004. 青藏高原东部和西太平洋暖池地区大气热源与  
388 中国夏季降水的关系 [J]. 热带气象学报, 20(4): 355-364. Jian Maoqiu, Luo  
389 Huibang, Qiao Yunting. 2004. On the relationships between the summer rainfall  
390 in China and the atmospheric heat sources over the eastern Tibetan Plateau and  
391 the western Pacific warm pool [J]. Journal of Tropical Meteorology (in Chinese),  
392 20(4): 355-364.
- 393 Jiang Y, Yang X, Liu X, et al. 2017. Anthropogenic aerosol effects on East Asian  
394 winter monsoon: The role of black carbon-induced Tibetan Plateau warming [J].  
395 J. Geophys. Res. Atmos., 122(11): 5883–5902. doi:10.1002/2016JD026237
- 396 Jin J, Lu S, Li S, et al. 2010. Impact of land use change on the local climate over the  
397 Tibetan Plateau [J]. Adv. Meteorol., 2010, 1–6. doi:10.1155/2010/837480
- 398 Kaiser D P, Qian Y. 2002. Decreasing trends in sunshine duration over China for  
399 1954–1998: Indication of increased haze pollution? [J]. Geophys. Res. Lett.,  
400 29(21): 2042. doi:10.1029/2002GL016057
- 401 Kamae Y, Shiogama H, Watanabe M, et al. 2014. Attributing the increase in Northern  
402 Hemisphere hot summers since the late 20th century [J]. Geophys. Res. Lett.,  
403 41(14): 5192–5199. doi:10.1002/2014GL061062
- 404 Kang L, Huang J, Chen S, et al. 2016. Long-term trends of dust events over Tibetan  
405 Plateau during 1961–2010 [J]. Atmos. Environ., 125, 188–198.  
406 doi:10.1016/j.atmosenv.2015.10.085
- 407 Lee W, Choi H M, Lee J Y, et al. 2018. Temporal changes in mortality impacts of  
408 heat wave and cold spell in Korea and Japan [J]. Environ. Int., 116, 136–146.  
409 doi:10.1016/j.envint.2018.04.017
- 410 Liu Y, Lu M, Yang H, et al. 2020. Land-atmosphere-ocean coupling associated with  
411 the Tibetan Plateau and its climate impacts [J]. Nat. Sci. Rev., 7(3): 534–552.  
412 doi:10.1093/nsr/nwaa011

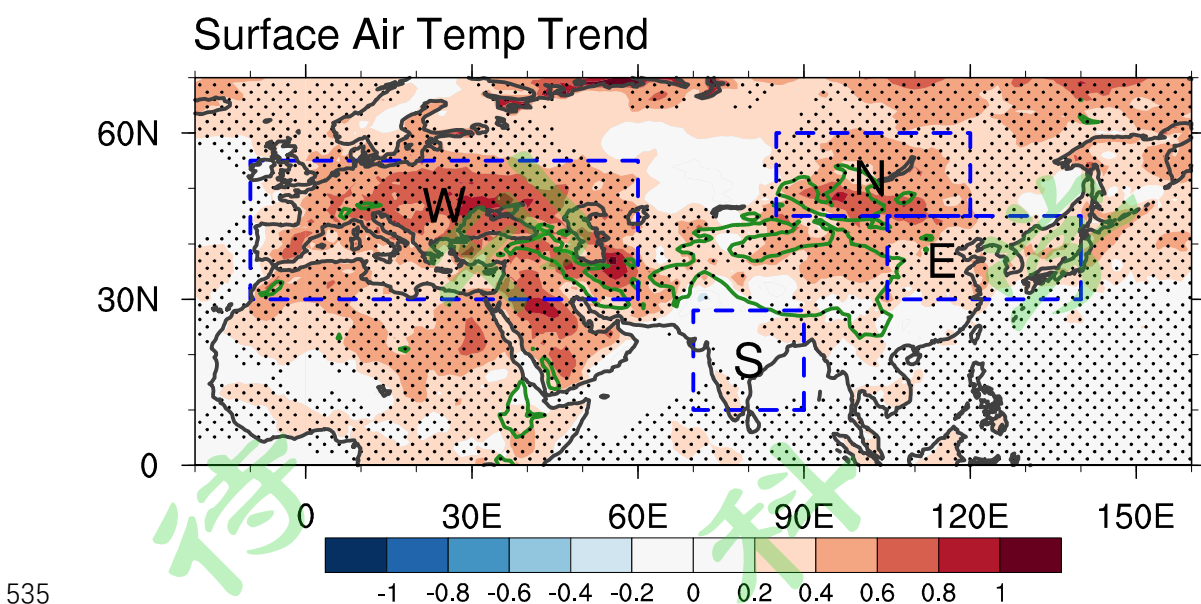
- 413 Lu J, Cai M. 2009. A new framework for isolating individual feedback processes in  
414 coupled general circulation climate models. Part I: formulation [J]. Climate. Dyn.,  
415 32(6): 873–885. doi: 10.1007/s00382-008-0425-3
- 416 Lu M, Yang S, Li Z, et al. 2018. Possible effect of the Tibetan Plateau on the  
417 “upstream” climate over West Asia, North Africa, South Europe and the North  
418 Atlantic [J]. Climate Dyn., 51(4): 1485-1498. doi:10.1007/s00382-017-3966-5
- 419 Lu M, Huang B, Li Z, et al. 2019. Role of Atlantic air-sea interaction in modulating  
420 the effect of Tibetan Plateau heating on the upstream climate over  
421 Afro-Eurasia-Atlantic regions [J]. Climate Dyn., 53(1-2): 509-519.  
422 doi:10.1007/s00382-018-4595-3
- 423 Lu M, Yang S, Wang J, et al. 2021. Response of regional Asian summer monsoons to  
424 the effect of reduced surface albedo in different Tibetan Plateau domains in  
425 idealized model experiments [J]. J. Climate, 34(17): 7023–7036.  
426 doi:JCLI-D-20-0500.1
- 427 马晓波, 李栋梁. 2003. 青藏高原近代气温变化趋势及突变分析 [J]. 高原气象,  
428 22(5): 507–512. Ma Xiaobo, Li Dongliang. 2003. Analyses on air temperature  
429 and its abrupt change over Qinghai-Xizang Plateau in modern age [J]. Plateau  
430 Meteorology (in Chinese), 22(5): 507-512.
- 431 Ma J, Guan X, Guo, et al. 2017. Mechanism of non-appearance of hiatus in Tibetan  
432 Plateau [J]. Sci. Rep., 7(1): 4421. doi:10.1038/s41598-017-04615-7
- 433 Ma J, Zhang T, Guan X, et al. 2019. The dominant role of snow/ice albedo feedback  
434 strengthened by black carbon in the enhanced warming over the Himalayas [J]. J.  
435 Climate, 32(18): 5883-5899. doi:10.1175/JCLI-D-18-0720.1
- 436 Nan S, Zhao P, Chen J. 2019. Variability of summertime Tibetan tropospheric  
437 temperature and associated precipitation anomalies over the central-eastern Sahel  
438 [J]. Climate Dyn., 52 (3-4): 1819-1835. doi:10.1007/s00382-018-4246-8
- 439 Nan S, Zhao P, Chen J, et al. 2021. Links between the thermal condition of the  
440 Tibetan Plateau in summer and atmospheric circulation and climate anomalies  
441 over the Eurasian continent [J]. Atmos. Res., 247: 105212.  
442 doi:10.1016/j.atmosres.2020.105212

- 443 彭玉萍, 何金海, 陈隆勋, 等. 2012. 1981-2000年夏季青藏高原大气热源低频振荡  
444 特征及其影响 [J]. 热带气象学报, 28(3): 330–338. Peng Yuping, He Jinhai,  
445 Chen Longxun, et al. 2012. A study on the characteristics and effect of the  
446 low-frequency oscillation of the atmospheric heat source over the eastern Tibetan  
447 Plateau from 1981 to 2000 [J]. Journal of Tropical Meteorology (in Chinese),  
448 28(3): 330–338.
- 449 Rangwala I, Miller J R, Xu M. 2009. Warming in the Tibetan Plateau: Possible  
450 influences of the changes in surface water vapor [J]. Geophys. Res. Lett., 36(6):  
451 L06703. doi:10.1029/2009GL037245
- 452 Schär C, Vidale P L, Lüthi D, et al. 2004. The role of increasing temperature  
453 variability in European summer heatwaves [J]. Nature, 427(6972): 332–336.  
454 doi:10.1038/nature02300
- 455 Shen S S P, Yao R, Ngo J, et al. 2015. Characteristics of the Tibetan Plateau snow  
456 cover variations based on daily data during 1997–2011 [J]. Theor. Appl.  
457 Climatol., 120(3–4): 445–453. doi:10.1007/s00704-014-1185-0
- 458 Stainforth D A, Chapman S C, Watkins N W. 2013. Mapping climate change in  
459 European temperature distributions [J]. Environ. Res. Lett., 8(3): 034031.  
460 doi:10.1088/1748-9326/8/3/034031
- 461 Stott P A, Tett S F B, Jones G S, et al. 2000. External control of 20th century  
462 temperature by natural and anthropogenic forcings [J]. Science, 290(5499):  
463 2133–2137. doi:10.1126/science.290.5499.2133
- 464 Su J, Duan A, Xu H. 2017. Quantitative analysis of surface warming amplification  
465 over the Tibetan Plateau after the late 1990s using surface energy balance  
466 equation [J]. Atmos. Sci. Lett., 18(3): 112–117. doi:10.1002/asl.732
- 467 Sutton R T, Dong B. 2012. Atlantic Ocean influence on a shift in European climate in  
468 the 1990s [J]. Nat. Geosci., 5(11): 788–792. doi:10.1038/ngeo1595
- 469 Trenberth K E, Fasullo J T. 2012. Climate extremes and climate change: The Russian  
470 heat wave and other climate extremes of 2010 [J]. J. Geophys. Res. Atmos.,  
471 117(D17): D17103. doi:10.1029/2012JD018020
- 472 Varga G. 2020. Changing nature of Saharan dust deposition in the Carpathian Basin

- 473 (Central Europe): 40 years of identified North African dust events (1979–2018)  
474 [J]. Environ. Int., 139, 105712. doi:10.1016/j.envint.2020.105712
- 475 Wahren C-H A, Walker M D, Bret-Harte M S. 2005. Vegetation responses in Alaskan  
476 arctic tundra after 8 years of a summer warming and winter snow manipulation  
477 experiment [J]. Glob. Chang. Biol., 11(4): 537–552.  
478 doi:10.1111/j.1365-2486.2005.00927.x
- 479 王青霞, 吕世华, 鲍燕, 等. 2014. 青藏高原不同时间尺度植被变化特征及其与气  
480 候因子的关系分析 [J]. 高原气象, 33(2): 301-312. Wang Qingxia, Lu Shihua,  
481 Bao Yan, et al. 2014. Characteristics of vegetation change and its relationship  
482 with climate factors in different time-scales on Qinghai-Xizang Plateau [J].  
483 Plateau Meteorology (in Chinese), 33(2): 301-312.
- 484 Wang D, Zhang F, Yang S, et al. 2020. Exploring the spatial-temporal characteristics  
485 of the aerosol optical depth (AOD) in Central Asia based on the moderate  
486 resolution imaging spectroradiometer (MODIS) [J]. Environ. Monit. Assess.,  
487 192(6): 383. doi:10.1007/s10661-020-08299-x
- 488 Wu G, Liu Y, Zhang Q, et al. 2007. The influence of mechanical and thermal forcing  
489 by the Tibetan Plateau on Asian climate [J]. J. Hydrometeor., 8(4): 770–789.  
490 doi:10.1175/JHM609.1
- 491 Wu G, Duan A, Liu Y, et al. 2015. Tibetan Plateau climate dynamics: Recent research  
492 progress and outlook [J]. Nat. Sci. Rev., 2(1): 100–116. doi:10.1093/nsr/nwu045
- 493 Wu Y, Yang S, Hu X, et al. 2020. Process-based attribution of long-term surface  
494 warming over the Tibetan Plateau [J]. Int. J. Climatol., 40(15): 6410–6422.  
495 doi:10.1002/joc.6589
- 496 Xu W, Ma L, Ma M, et al. 2017. Spatial–temporal variability of snow cover and depth  
497 in the Qinghai–Tibetan Plateau [J]. J. Climate, 30(4): 1521–1533.  
498 doi:10.1175/JCLI-D-15-0732.1
- 499 Yan Y, You Q, Wu F, et al. 2020. Surface mean temperature from the observational  
500 stations and multiple reanalyses over the Tibetan Plateau [J]. Climate Dyn.,  
501 55(9–10): 2405–2419. doi:10.1007/s00382-020-05386-0
- 502 Yang Y, Ren R. 2017. On the contrasting decadal changes of diurnal surface

- 503 temperature range between the Tibetan Plateau and southeastern China during  
504 the 1980s–2000s [J]. *Adv. Atmos. Sci.*, 34(2):181–198. doi:  
505 10.1007/s00376-016-6077-z
- 506 杨倩, 陈权亮, 陈朝平, 等. 2020. 全球变暖背景下青藏高原中东部地区温度变化  
507 特征 [J]. 成都信息工程大学学报, 35(03): 352–358. Yang Qian, Chen  
508 Quanliang, Chen Chaoping, et al. 2020. Spatial-temporal changes of temperature  
509 over the central and eastern part of Tibetan Plateau from 1960 to 2016 [J].  
510 *Journal of Chengdu University of Information Technology* (in Chinese), 35(03):  
511 352-358.
- 512 游庆龙, 康世昌, 李剑东, 等. 2021. 青藏高原气候变化若干前沿科学问题 [J].  
513 冰川冻土, 43(3): 885–901. You Qinglong, Kang Shichang, Li Jiandong, et al.  
514 2021. Several research frontiers of climate change over the Tibetan Plateau [J].  
515 *Journal of Glaciology and Geocryology* (in Chinese), 43(3): 885-901.  
516 You Q, Min J, Kang S. 2016. Rapid warming in the Tibetan Plateau from  
517 observations and CMIP5 models in recent decades [J]. *Int. J. Climatol.*, 36(6):  
518 2660–2670. doi:10.1002/joc.4520
- 519 Zheng Y, Liu J, Wu R, et al. 2008. Seasonal statistical characteristics of aerosol  
520 optical properties at a site near a dust region in China [J]. *J. Geophys. Res.*  
521 *Atmos.*, 113(D16): 16205. doi:10.1029/2007JD009384
- 522 Zhong L, Ma Y, Xue Y, et al. 2019. Climate change trends and impacts on vegetation  
523 greening over the Tibetan Plateau [J]. *J. Geophys. Res. Atmos.*,  
524 124(14):7540-7552. doi: 10.1029/2019JD030481
- 525 Zhou Y, Wu Z. 2016. Possible impacts of mega-El Niño/Southern Oscillation and  
526 Atlantic Multidecadal Oscillation on Eurasian heatwave frequency variability [J].  
527 *Quart. J. Roy. Meteor. Soc.*, 142(697): 1647–1661. doi:10.1002/qj.2759
- 528 Zhu J, Xia X, Che H, et al. 2019. Spatiotemporal variation of aerosol and potential  
529 long-range transport impact over the Tibetan Plateau, China [J]. *Atmos. Chem.*  
530 *Phys.*, 19(23): 14637–14656. doi:10.5194/acp-19-14637-2019
- 531 Zhu L, Huang G, Fan G, et al. 2017. Evolution of surface sensible heat over the  
532 Tibetan Plateau under the recent global warming hiatus [J]. *Adv. Atmos. Sci.*,

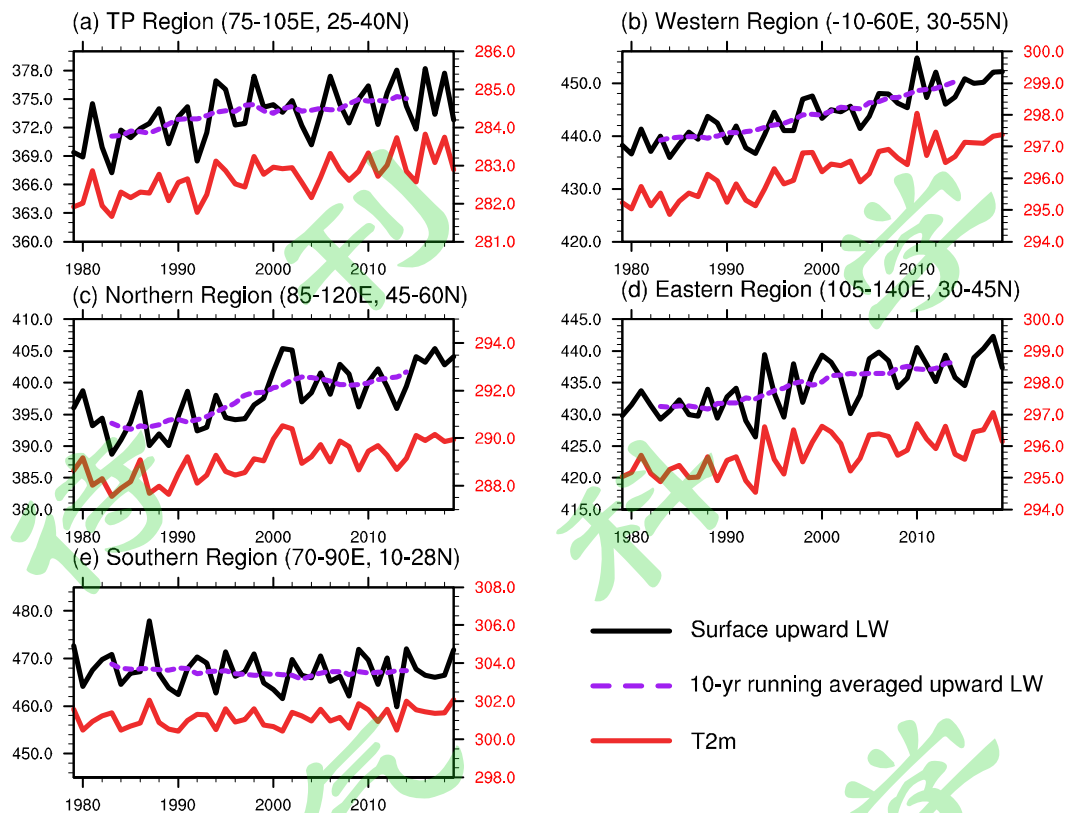




535  
536 图 1 1979-2019 年夏季平均地表气温趋势分布图 (单位:  $\text{K decade}^{-1}$ )。黑色打点  
537 区域表明填色变量场通过 95% 的信度检验。绿色实线为 1500 米海拔等高线。蓝色  
538 虚线框代表的区域分别为我们关注的北非南欧地区 (W)，蒙古地区 (N)，东  
539 东北亚地区 (E)，南亚地区 (S)，下同

540 Fig. 1 Trends of summer surface temperature from 1979 to 2019 (units:  $\text{K}\cdot\text{decade}^{-1}$ ).  
541 The dotted areas indicate the trends exceeding the 95% confidence level of statistical  
542 significance. The green solid line is the 1500-m elevation contour. The blue dash  
543 rectangles represent the regions focused, which are North Africa and southern Europe  
544 (W), Mongolia (N), Northeast Asia (E), and South Asia (S). Same for other figures

545

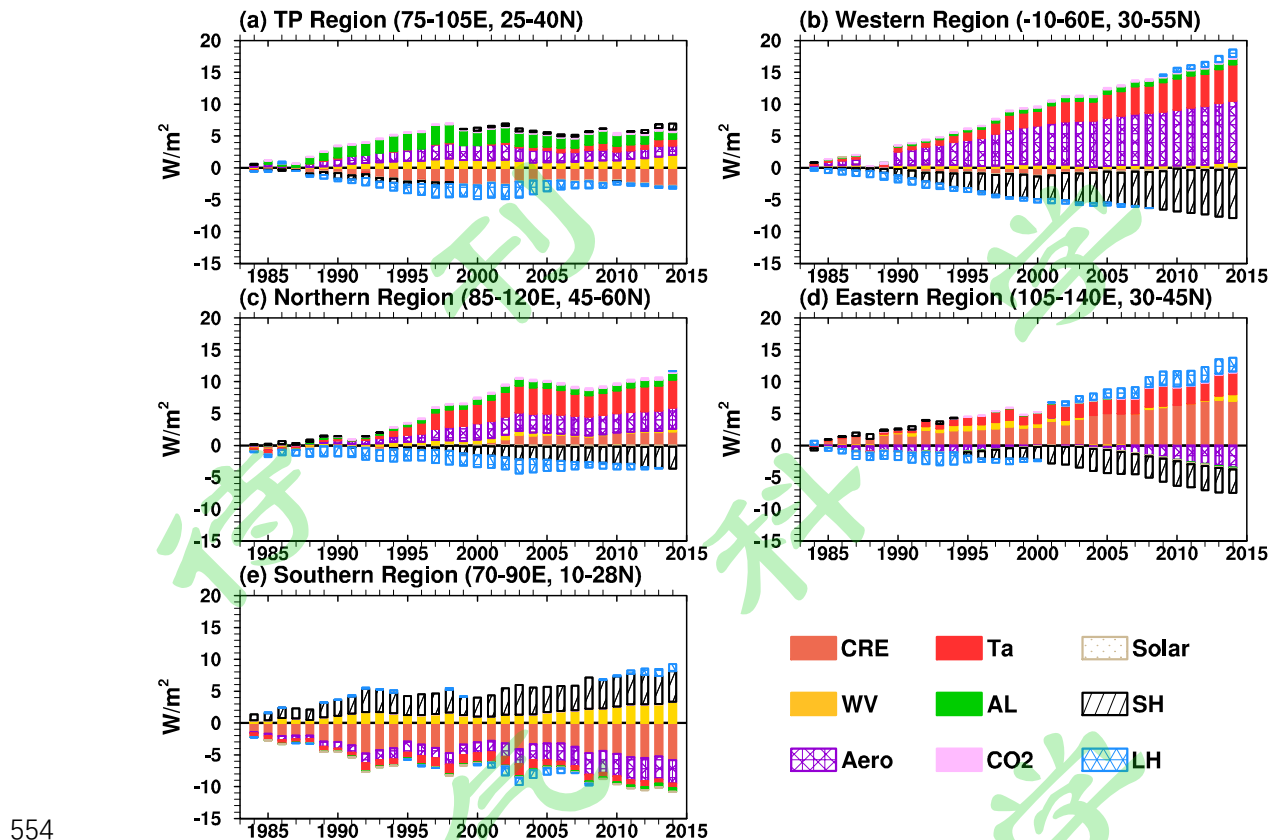


546

547 图 2 各区域夏季平均地表向上长波辐射（黑色实线，单位： $\text{W m}^{-2}$ ）及其十年滑  
 548 动平均（紫色虚线，单位： $\text{W m}^{-2}$ ）与地表气温（红色实线，单位：K）的变化

549 Fig. 2 Time series of surface upward longwave radiation (black solid line, units:  $\text{W m}^{-2}$ )  
 550 , 10-year running average of surface upward longwave radiation (purple dash line,  
 551 units:  $\text{W m}^{-2}$ ), and surface temperature (red solid line, units: K) of different regions in  
 552 summer

553

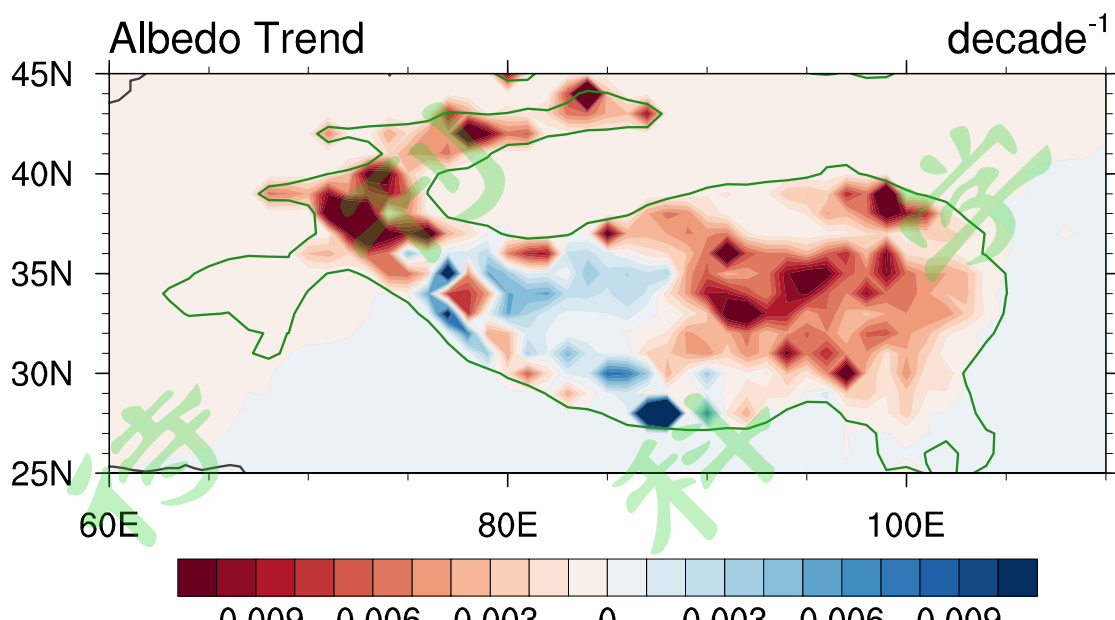


554  
555 图 3 各区域夏季平均地表向上长波辐射变化 (单位: W m<sup>-2</sup>)。“CRE”, “Ta”,  
556 “Solar”, “WV”, “AL”, “SH”, “Aero”, “CO2” 和 “LH” 分别表示云过程,  
557 大气温度, 对流层顶太阳入射辐射, 大气水汽含量, 地表反照率, 地表感热通量,  
558 气溶胶, 二氧化碳含量和地表潜热通量变化对地表向上长波的贡献

559 Fig. 3 Changes in surface upward longwave radiation of different regions in summer  
560 (units: W m<sup>-2</sup>). “CRE”, “Ta”, “Solar”, “WV”, “AL”, “SH”, “Aero”, “CO2”, and “LH”  
561 represents respectively the changes in surface upward longwave radiation due to the  
562 process of cloud radiative effect, air temperature, incident solar radiation at top of the  
563 atmosphere, water vapor, surface albedo, surface sensible heat flux, aerosol, CO2  
564 concentration, and surface latent heat flux

565

566



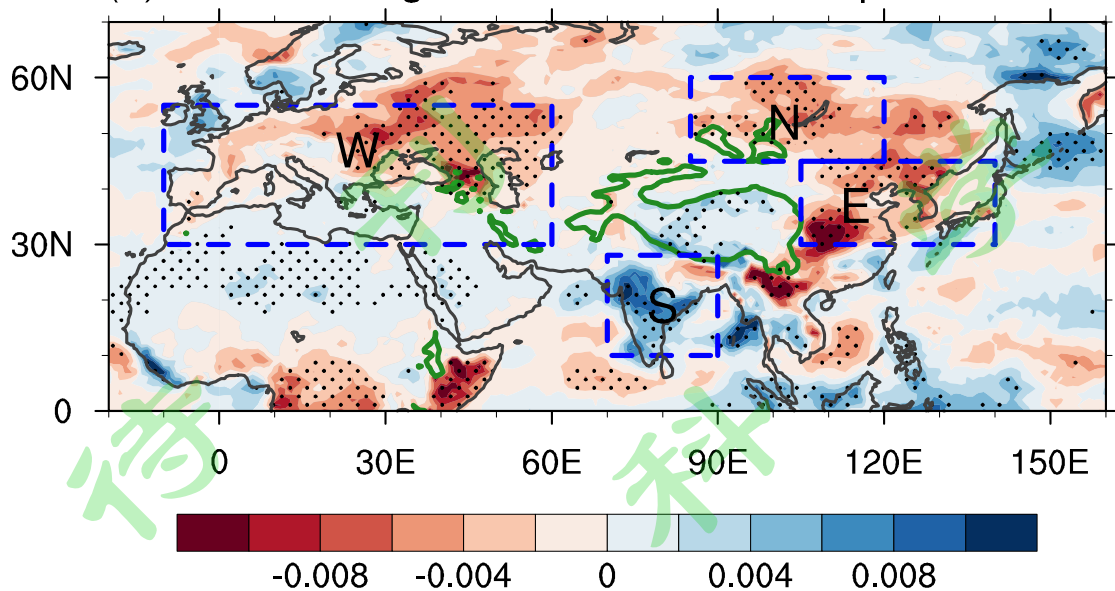
567

568 图 4 1979-2019 年夏季青藏高原地表反照率变化趋势 (单位: decade<sup>-1</sup>)。

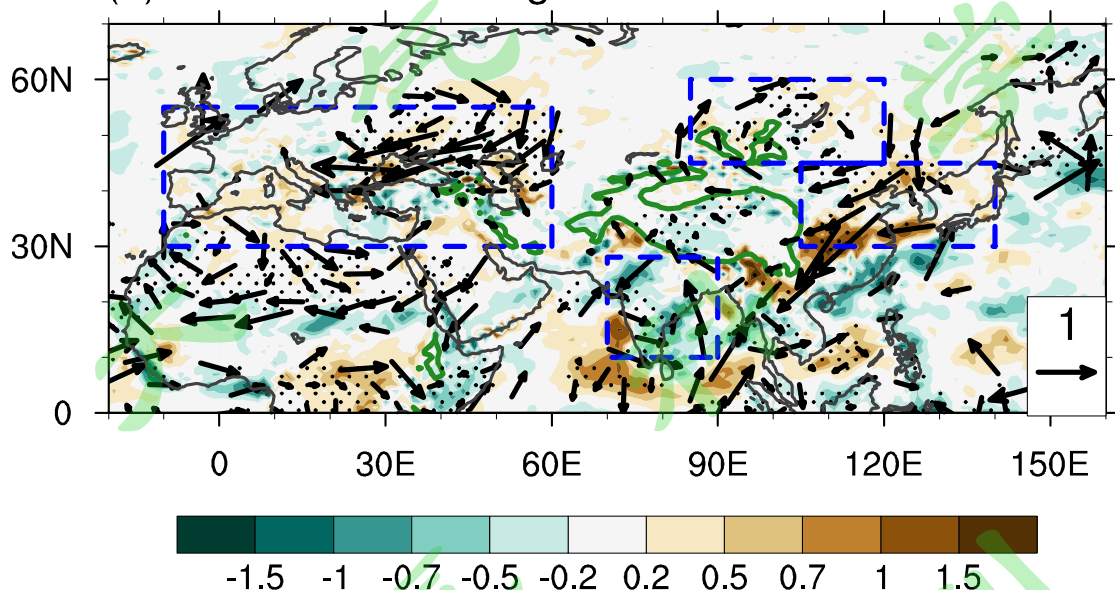
569 Fig. 4 Trend in JJA-mean surface albedo from 1979 to 2019 over the Tibetan Plateau

570 (units: decade<sup>-1</sup>)

(a) Column-integrated Cloud Ice and Liq Water



(b) WV Flux and Divergence



571

572 图 5 (a) 1979-2019 年夏季地表至 300 百帕整层积分的云冰含量与云水含量之  
573 和 (单位:  $\text{Kg m}^{-2} \text{ decade}^{-1}$ ) 的变化趋势。(b) 1979-2019 年夏季地表至 300 百  
574 帕整层积分的水汽通量 (矢量箭头, 单位:  $\text{Kg m}^{-1} \text{ s}^{-1} \text{ decade}^{-1}$ ) 及其散度 (填色,  
575 单位:  $10^{-6} \text{ Kg m}^{-2} \text{ s}^{-1} \text{ decade}^{-1}$ ) 的变化趋势。黑色打点区域表明填色变量场通过  
576 95% 的信度检验。b 图中矢量箭头场均已通过 95% 的信度检验

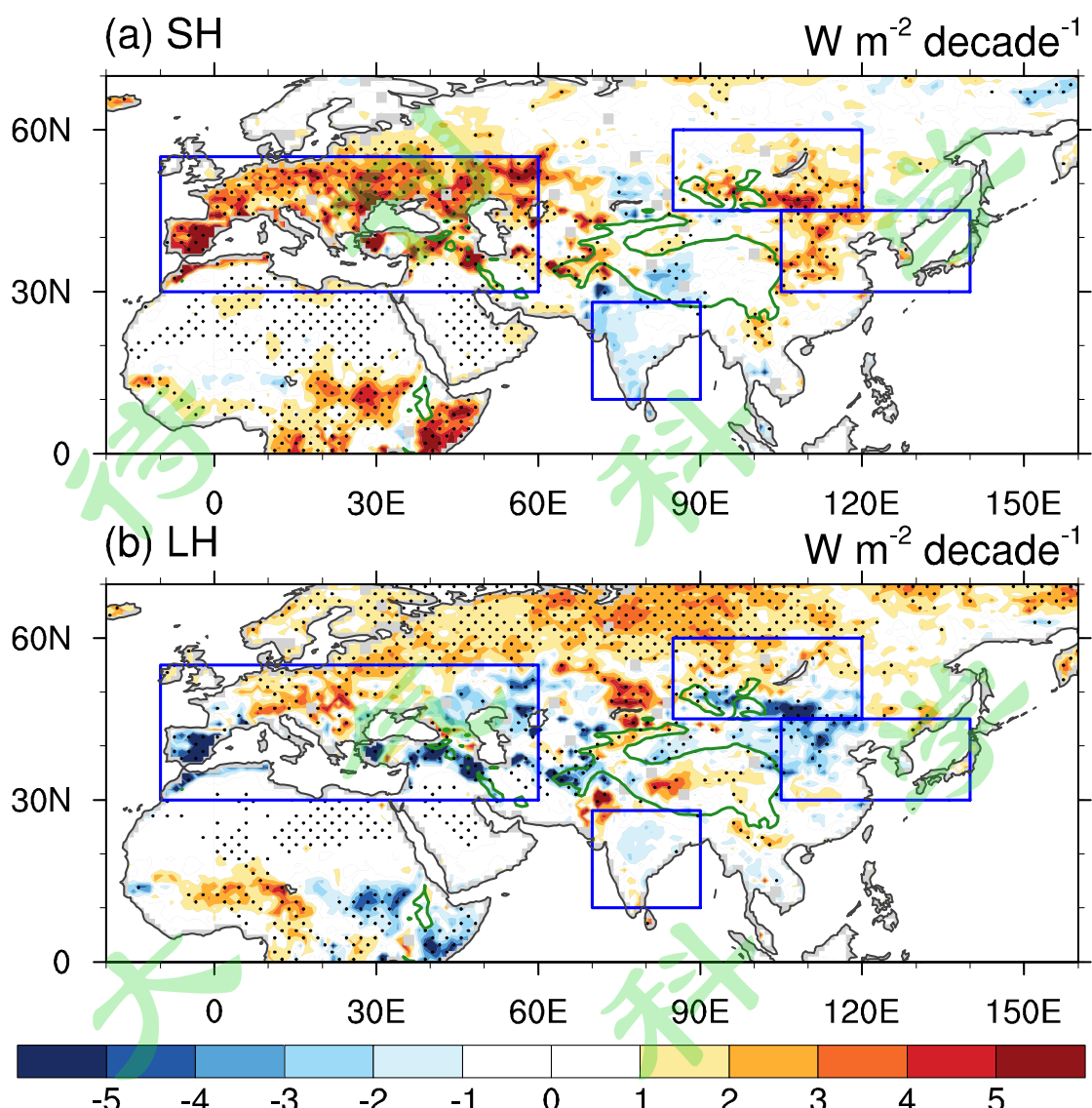
577 Fig. 5 (a) Trends in JJA-mean column-integrated (surface to 300 hPa) atmospheric  
578 cloud liquid and ice water content from 1979 to 2019 (units:  $\text{Kg m}^{-2} \text{ decade}^{-1}$ ). (b)  
579 Trends in JJA-mean column-integrated (surface to 300 hPa) atmospheric water vapor

580 flux (vectors, units:  $\text{Kg m}^{-1} \text{s}^{-1} \text{decade}^{-1}$ ) and its divergence (shading, units:  $10^{-6} \text{ Kg}$   
581  $\text{m}^{-2} \text{s}^{-1} \text{decade}^{-1}$ ) from 1979 to 2019. The dotted areas indicate the shaded fields that  
582 exceed the 95% confidence level of statistical significance. Vectors in (b) pass the test  
583 of significance at the 95% confidence level

584



585



586

587

图 6 1979-2019 年夏季 (a) 地表感热通量和 (b) 地表潜热通量的变化趋势 (单

588 位:  $\text{W m}^{-2} \text{decade}^{-1}$ )。黑色打点区域表明填色变量场通过 95% 的信度检验, b 图

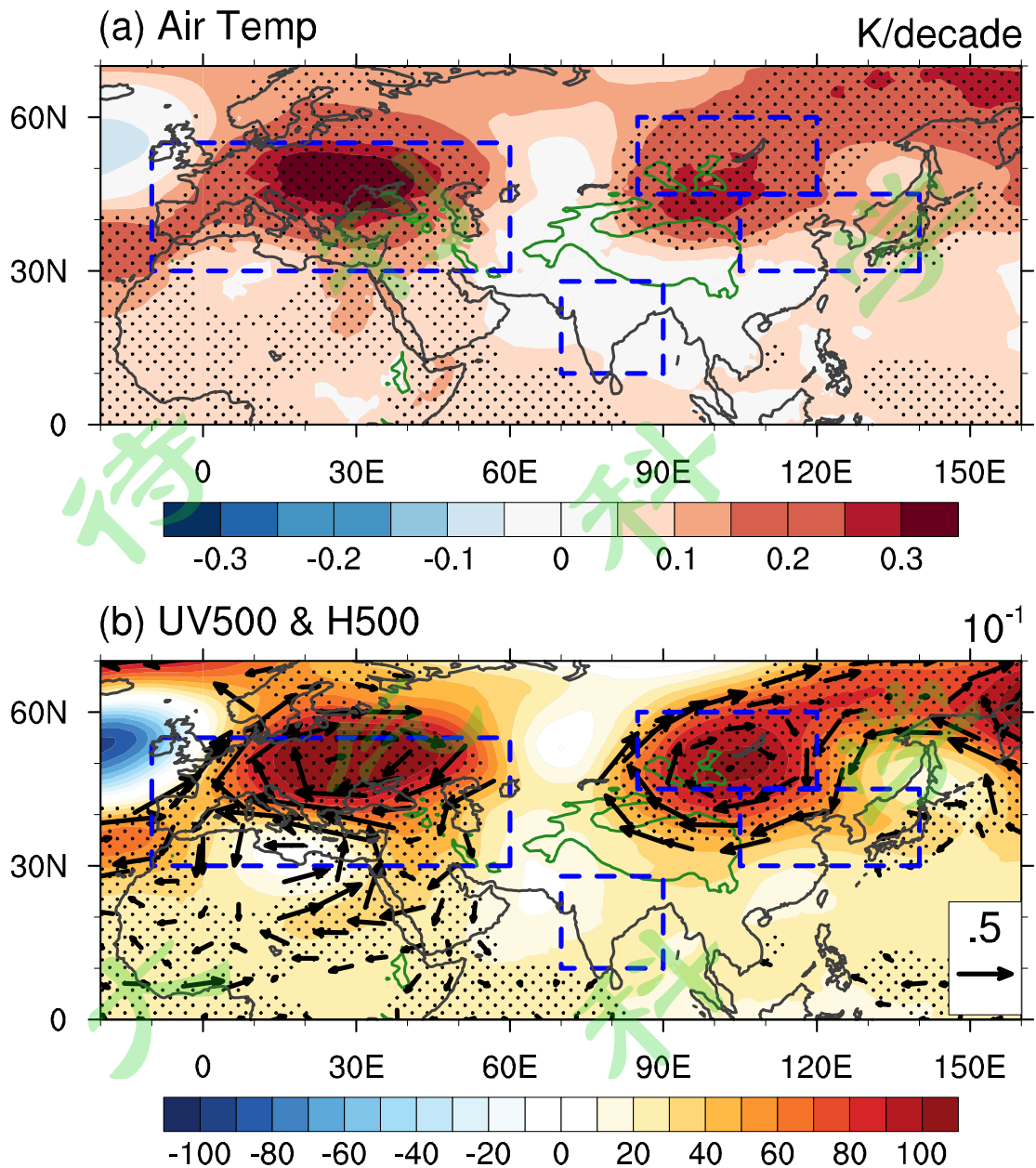
589 中矢量箭头场均已通过 95% 的信度检验

590 Fig. 6 Trends in JJA-mean (a) surface sensible heat flux and (b) surface latent heat

591 flux from 1979 to 2019 (units:  $\text{W m}^{-2} \text{decade}^{-1}$ ). The dotted areas indicate the shaded

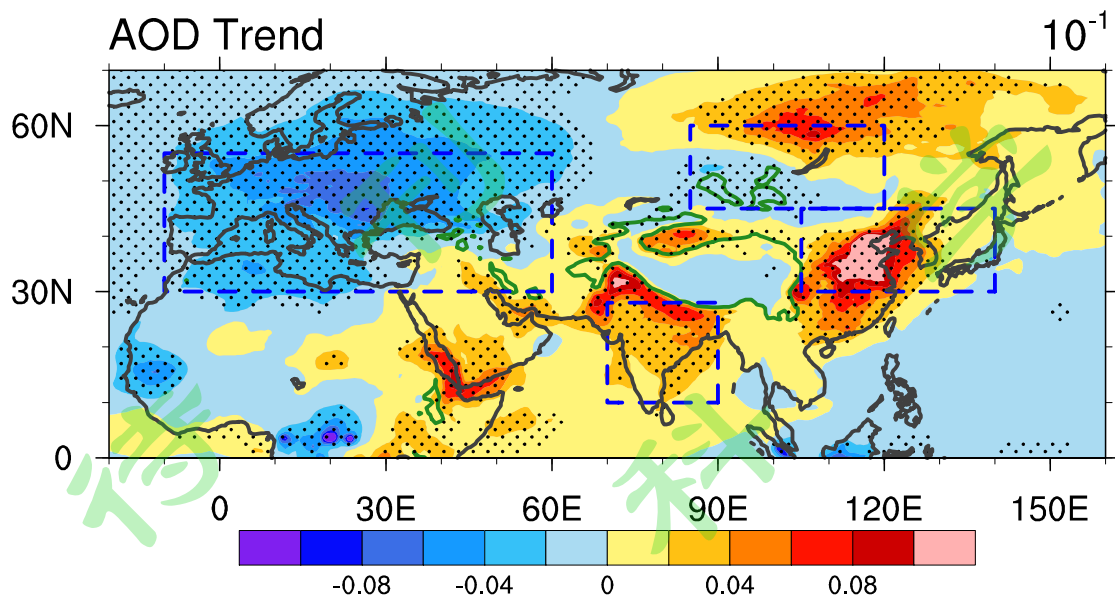
592 fields that exceed the 95% confidence level of statistical significance

593



594  
595 图 7 (a) 1979-2019 年夏季整层大气平均温度的变化趋势 (单位:  $\text{K decade}^{-1}$ )。  
596 (b) 1979-2019 年夏季 500 百帕高度场 (填色, 单位:  $\text{m}^2 \text{s}^{-2} \text{decade}^{-1}$ ) 与风场 (矢  
597 量箭头, 单位:  $\text{m s}^{-1} \text{decade}^{-1}$ ) 的变化趋势。黑色打点区域表明填色变量场通过  
598 95% 的信度检验, b 图中矢量箭头场均已通过 95% 的信度检验  
599 Fig. 7 (a) Trends in JJA-mean column-averaged air temperature from 1979 to 2019  
600 (units:  $\text{K decade}^{-1}$ ). (b) Trends in JJA-mean geopotential height (units:  $\text{m}^2 \text{s}^{-2} \text{decade}^{-1}$ )  
601 and wind field (units:  $\text{m s}^{-1} \text{decade}^{-1}$ ) at 500 hPa from 1979 to 2019. The dotted areas  
602 indicate the shaded fields that exceed the 95% confidence level of statistical  
603 significance. Vectors in (b) pass the test of significance at the 95% confidence level  
604

605



606

607 图 8 1980-2019 年夏季大气气溶胶光学厚度趋势分布图 (单位:  $\text{decade}^{-1}$ )。黑色  
608 打点区域表明填色变量场通过 95% 的信度检验

609 Fig. 8 Trends in JJA-mean aerosol optical depth from 1980 to 2019 (units:  $\text{decade}^{-1}$ ).  
610 The dotted areas indicate the shaded fields that exceed the 95% confidence level of  
611 statistical significance

612

	北非南欧	高原以北	东北亚	南亚	高原
云					
水汽					
气溶胶					
大气温度					
反照率					
感热					
潜热					

613

614 图 9 归因分析总结。红色表明主要使地表向上长波辐射增加的过程，蓝色表明  
615 主要使地表向上长波辐射减少的过程

616 Fig. 9 Summary of attribution analysis. Red shading indicates the processes that  
617 contribute to increased surface upward longwave radiation, and blue shading indicates  
618 the processes that contribute to decreased surface upward longwave radiation